

# МАТЕМАТИКА

УДК 519.175

Кадубовський О.А., Сипчук Є.Ю.

<sup>1</sup> канд. фізико-математичних наук, доцент каф. математики та інформатики, ДВНЗ «ДДПУ»  
e-mail: kadubovs@ukr.net, ORCID 0000-0003-2045-810X

<sup>2</sup> студент 1 курсу магістратури фізико-математичного факультету, ДВНЗ «ДДПУ»  
e-mail: sypchuk\_egor@ukr.net, ORCID 0000-0003-0913-0461

## ПРО ЧИСЛО НЕІЗОМОРФНИХ ДВОКОЛЬОРОВИХ ХОРДОВИХ $O$ -ДІАГРАМ РОДУ 2, ЯКІ МАЮТЬ ОДИН СІРИЙ (АБО ЧОРНИЙ) ЦИКЛ

Для натуральних  $n \geq 5$  встановлено явні формули для підрахунку числа неізоморфних 2-кольорових хордових  $O$ -діаграм (з  $n$  хордами), які мають лише один сірий (чорний) та  $(n - 4)$  чорних (відповідно сірих) циклів відносно дії циклічної групи (порядку  $n$ ). Крім того, для натуральних 5 і 6 в явному вигляді наведено всі неізоморфні діаграми із зазначених класів, а для натуральних  $5 \leq n \leq 36$  наведено точні значення числа неізоморфних таких діаграм.

**Ключові слова:** 2-кольорова хордова  $O$ -діаграма з  $n$  хордами, род діаграми, цикл діаграми, циклічна група.

### Вступ

Нагадаємо, що хордовою діаграмою або, коротко,  $n$ -діаграмою називають конфігурацію на площині, що складається з кола,  $2n$  точок на ньому (які є вершинами правильного  $2n$ -кутника) та  $n$  хорд, що сполучають вказані точки.

Хордові діаграми називають *ізоморфними*, якщо одну можна одержати з іншої в результаті повороту.

Діаграми називають *еквівалентними*, якщо їх можна сумістити за допомогою повороту, дзеркального відбиття, або ж їх композиції.

Питаннями переліку певних класів хордових  $n$ -діаграм (відносно дії циклічної групи порядку  $2n$  та дієдральної групи порядку  $4n$ ) займалась ціла низка відомих математиків: T.R.S. Walsh, A.B. Lehman, J. Riordan, J. Harer, D. Zagier. Серед сучасників слід виділити авторів робіт [7], [2], [8], [5], [1].

Задачі про підрахунок числа неізоморфних та нееквівалентних  $n$ -діаграм були повністю розв'язані у 1997–1998 рр. в роботах [7], [5], [2], [8].

Явні формули для підрахунку числа неізоморфних *планарних* (роду 0), *тороїдальних* (роду 1)  $n$ -діаграм та  $2m$ -діаграм *максимального роду*  $m$  було встановлено у 2000 р. в роботі [2]. Причому задача про підрахунок числа нееквівалентних діаграм *максимального роду* була повністю розв'язана лише у 2017 р. в роботі [6].

Слід констатувати, що *одержання явних формул для підрахунку числа неізоморфних (а тому і нееквівалентних)*, зокрема двокольорових,  $n$ -діаграм *фіксованого роду* виявилось досить складною задачею і в загальному випадку до сьогодні *нерозв'язаною проблемою*.

Для **двокольорових** діаграм найбільш вагомими є наступні результати: задачі про підрахунок числа неізоморфних та нееквівалентних  $O$ - і  $N$ -діаграм (відповідно) повністю розв'язано в 2010 р. у роботі [11];

формули для підрахунку числа неізоморфних та нееквівалентних  $O$ -діаграм ( $N$ -діаграм), які мають *точно один цикл певного кольору* (чорний або ж сірий) одержано в 2010 та 2012 рр. у роботах [12] і [13] відповідно;

формули для підрахунку числа неізоморфних та нееквівалентних *планарних*  $O$ -діаграм (з  $n$  хордами) було встановлено у 2000 р. в роботі [1]; проте питання про узагальнення цієї задачі на випадок фіксованого числа чорних (або ж сірих) циклів було повністю розв'язано лише у 2014 р. в роботі [14];

задача про підрахунок числа неізоморфних  $O$ -діаграм *максимального роду* (з 1-им чорним та 1-им сірим циклом) була розв'язана у 2006 р. в роботі [10], а про число нееквівалентних таких діаграм — лише у 2015 р. в [15].

Слід зазначити, що навіть для класу  $\mathfrak{S}_{k;l}^{n,1}$   $O$ -діаграм (з  $n$  хордами) роду 1, які мають *точно*  $k$  чорних (або ж сірих) та  $l = n - k - 1$  сірих (відповідно чорних) циклів, питання про підрахунок числа нееквівалентних діаграм відносно дії циклічної та дієдральної груп в загальному випадку **залишаються відкритими**. Явні формули для підрахунку числа неізоморфних та нееквівалентних діаграм з класів  $\mathfrak{S}_{n-2;1}^{n,1}$ ,  $\mathfrak{S}_{n-3;2}^{n,1}$  та  $\mathfrak{S}_{n-4;3}^{n,1}$  (для початкових  $l = 1$ ,  $l = 2$  та  $l = 3$ ) одержано в роботах [16], [17] і [18] відповідно. Явні формули для підрахунку числа неізоморфних діаграм з більш ємного класу  $\mathfrak{S}^{n,1}$  двокольорових хордових  $O$ -діаграм (з  $n$  хордами) роду 1 (без фіксації кількості чорних та/або сірих циклів) одержано в роботі [19]. Задача про підрахунок числа *нееквівалентних* діаграм з класу  $\mathfrak{S}^{n,1}$  також залишається *нерозв'язаною*.

Дана стаття є логічним продовженням зазначеної серії робіт та присвячена встановленню формул для підрахунку числа неізоморфних діаграм з класу  $\mathfrak{S}_{n-4;1}^{n,2}$ . А її основною метою — виклад одержаних результатів, анонсованих автором в роботі [20].

## Основна частина

В подальшому через  $\mathfrak{S}_{k,l}^{n,g}$  будемо позначати клас двокольорових хордових  $O$ -діаграм (з  $n$  хордами) роду  $g$ , які мають точно  $l$  сірих та  $k$  чорних циклів. Тоді, як добре відомо (напр. [11]), справджується рівність

$$2g = n + 1 - k - l. \quad (1)$$

Більш детально з основними поняттями та попередніми відомостями з теорії переліку двокольорових хордових діаграм, можна ознайомитися в роботах [11], [16], [17].

### 1.1. Число діаграм з класу $\mathfrak{S}_{n-4;1}^{n,2}$ та його характеристичні підкласи

У 1997 р. в роботі [9, С. 4] вперше встановлено рекурентні формули, за допомогою яких є принципово можливим підрахунок числа діаграм з класу  $\mathfrak{S}_{k,l}^{n,g}$  ( $2g = n + 1 - k - l$ ).

Крім того, для початкових  $g = 0; 1; 2; 3$  в [9, С. 8-9] встановлено явні формули, які пізніше також були одержані та уточнені й в [4, С. 833], а в роботі [3, С. 888] — для цілих  $g \geq 0$  запропоновано іншу рекурентну формулу.

Для випадку  $g = 2$  в роботі [4] наведено наступну формулу

$$d(n; k, l) = \frac{1}{6!} \cdot q_2(k; l) \cdot C_{n+1}^2 \cdot C_{n-1}^{k-1} \cdot C_{n-1}^{l-1}, \quad (2)$$

де

$$q_2(k; l) = 13(k^2 + l^2) + 5kl(k + l) + 86(k + l) + 47kl + 129. \quad (3)$$

В нашому випадку  $g = 2$ ,  $l = 1$ . Звідки, з урахуванням формули (1),  $k = n - 4$ . І тому

$$\begin{aligned} & q_2(n-4; 1) = \\ & = 13 \left( (n-4)^2 + 1 \right) + 5(n-4)(n-3) + 86(n-3) + 47(n-4) + 129 = \\ & = 13(n^2 - 8n + 17) + 5(n^2 - 7n + 12) + 86(n-3) + 47(n-4) + 129 = \\ & = 18n^2 - 6n - 36 = 6(3n^2 - n - 6). \end{aligned}$$

Таким чином, з урахуванням формули (2), маємо що

$$d(n; n-4, 1) = \frac{(3n^2 - n - 6)}{5!} \cdot C_{n+1}^2 \cdot C_{n-1}^4 = \frac{(3n^2 - n - 6)}{8} \cdot C_{n+1}^6$$

та справедливість наступного

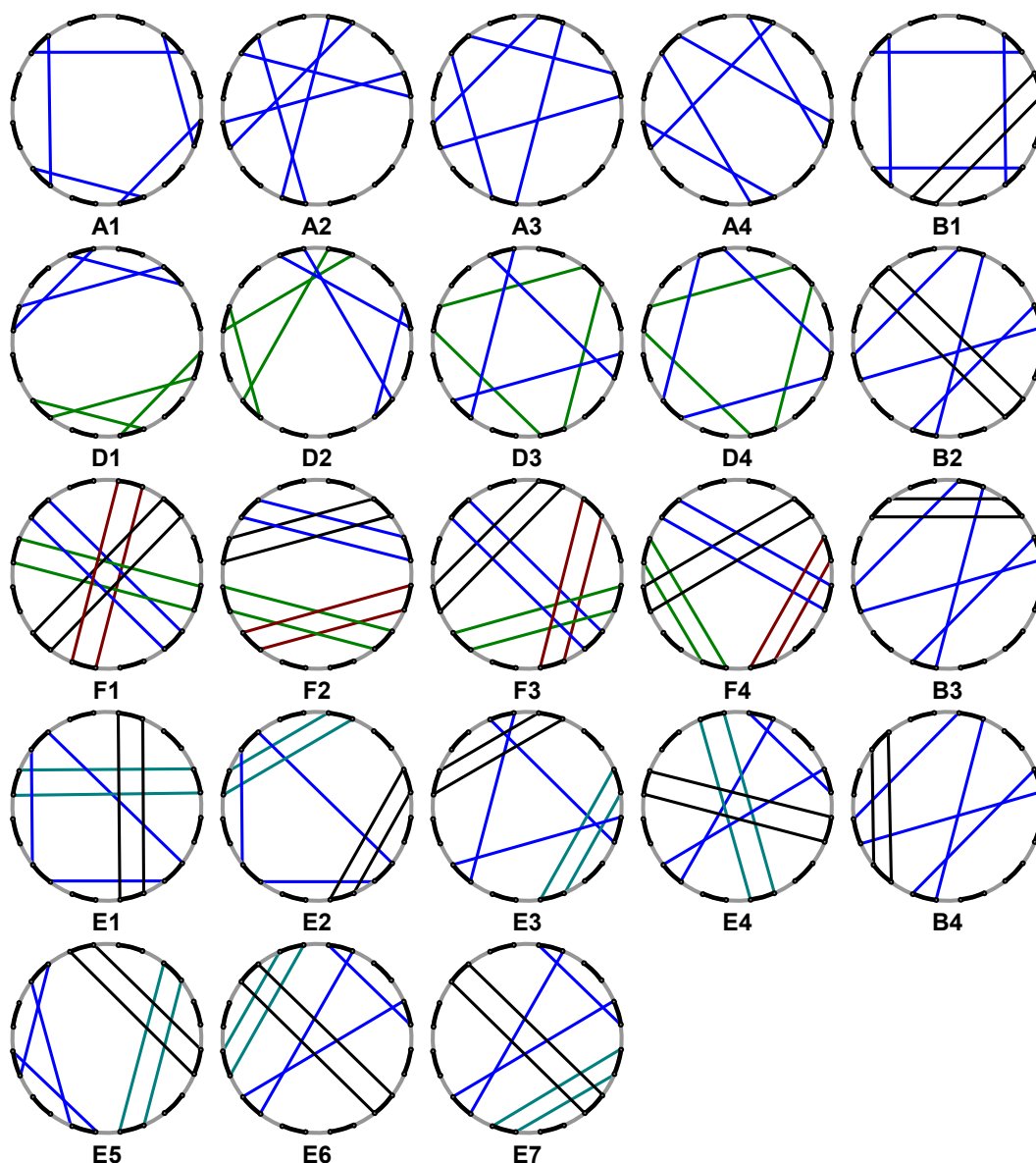
**Твердження 1.** Для довільного натурального  $n \geq 5$  число  $d(n)$  діаграм з класу  $\mathfrak{S}_{n-4;1}^{n,2}$  можна знайти за формулою

$$\left| \mathfrak{S}_{n-4;1}^{n,2} \right| = \frac{(3n^2 - n - 6)}{8} \cdot C_{n+1}^6 = d(n). \quad (4)$$

**Зауваження 1.** Оскільки діаграми з класу  $\mathfrak{S}_{n-4;1}^{n,2}$  (крім 1 сірого циклу) мають точно  $k = n - 4$  чорних циклів (які містять всі  $n$  чорних дуг двокольорового  $2n$ -шаблону), то кожна з таких діаграм може мати лише один з наступних наборів чорних циклів:

- або один 5-цикл (довжини 5) та  $(n - 5)$  1-циклів (довжини 1);
- або один 4-цикл, один 2-цикл та  $(n - 6)$  1-циклів;
- або два 3-цикли та  $(n - 6)$  1-циклів;
- або один 3-цикл, два 2-цикли та  $(n - 7)$  1-циклів;
- або чотири 2-цикли та  $(n - 8)$  1-циклів.

Таким чином, всі діаграми з класу  $\mathfrak{S}_{n-4;1}^{n,2}$  умовно можна поділити на п'ять зазначених вище класів –  $A$ ,  $B$ ,  $D$ ,  $E$  та  $F$  відповідно.



**Рис. 1:** типові представники характеристичних підкласів діаграм з класу  $\mathfrak{S}_{n-4;1}^{n,2}$

Якісний аналіз можливих типів діаграм із класів  $A, B, D, E$  і  $F$  дозволяє виділити лише 23 підкласи (об'єднання яких дає  $\mathfrak{S}_{n-4;1}^{n,2}$  та перетин будь-яких двох із них є порожньою множиною), типові представники яких зображено на рис. 1 та (заради зручності) позначено у спосіб:  $A1-A4, B1-B4, D1-D4, E1-E7$  та  $F1-F4$  відповідно.

**1.2. Число неізоморфних діаграм з класу  $\mathfrak{S}_{n-4;1}^{n,2}$**

За лемою Бернсайда (див. напр. [2], [11], [12]) число  $d^*(n)$  неізоморфних (нееквівалентних відносно дії циклічної групи порядку  $n$ ) діаграм з класу  $\mathfrak{S}_{n-4;1}^{n,2}$  можна знайти за допомогою співвідношення

$$d^*(n) = \frac{1}{n} \left( d(n) + \sum_{i|n, i \neq n} \phi\left(\frac{n}{i}\right) \cdot \rho(n, i) \right), \tag{5}$$

де:  $d(n) = \left| \mathfrak{S}_{n-4;1}^{n,2} \right|$ ;

$\phi(q)$  — функція Ейлера (кількість натуральних менших за  $q$  чисел, взаємнопростих із ним), а  $\rho(n, i)$  — число тих діаграм з класу  $\mathfrak{S}_{n-4;1}^{n,2}$ , які самосуміщуються при повороті (за годинниковою стрілкою) на кут

$$\omega(n, i) = \frac{2\pi}{2n} \cdot 2i = 2\pi \cdot \frac{i}{n}.$$

Очевидно, що для дільників  $i \neq n$  числа  $n$  кут  $\omega(n, i) \leq 180^\circ$ . Більше того, поклавши  $j = \frac{n}{i}$ , співвідношення (5) можна подати у вигляді

$$d^*(n) = \frac{1}{n} \left( d(n) + \sum_{j|n, j \neq 1} \phi(j) \cdot \rho\left(n, \frac{n}{j}\right) \right), \tag{6}$$

де  $\rho\left(n, \frac{n}{j}\right)$  — число тих діаграм з класу  $\mathfrak{S}_{n-4;1}^{n,2}$ , які самосуміщуються при повороті (за годинниковою стрілкою) на кут

$$\omega\left(n, \frac{n}{j}\right) = \frac{2\pi}{j},$$

де  $j$  — дільник  $n$ ,  $j \neq 1$ .

**Теорема 1.** Для натуральних  $n \geq 5$  число  $d^*(n)$  неізоморфних (нееквівалентних відносно дії циклічної групи порядку  $n$ ) діаграм з класу  $\mathfrak{S}_{n-4;1}^{n,2}$  можна обчислити за формулою

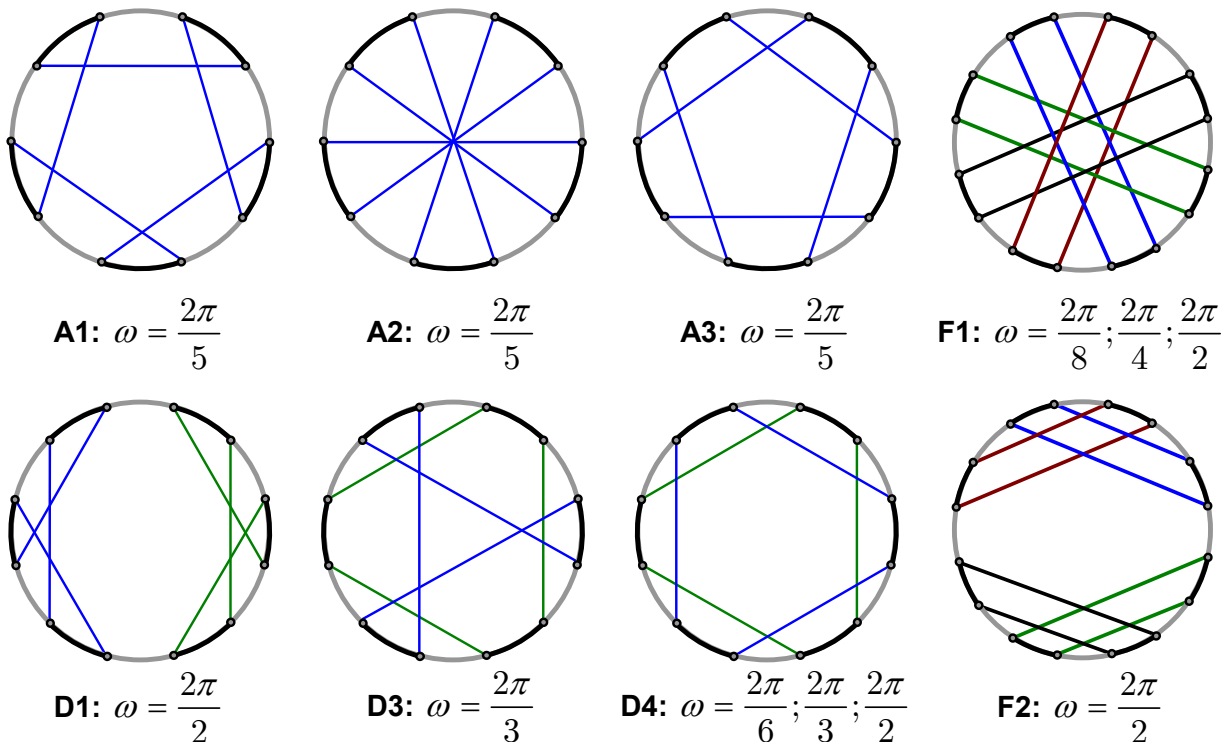
$$d^*(n) = \frac{1}{n} \left( \frac{(3n^2 - n - 6)}{8} \cdot C_{n+1}^6 + \sum_{j|n, j \in \{2;3;4;5;6;8\}} \phi(j) \cdot \rho\left(n, \frac{n}{j}\right) \right), \tag{7}$$

де:  $\phi(q)$  – функція Ейлера;  $\forall j \in N : \frac{n}{j} \notin N$  величини  $\rho\left(n, \frac{n}{j}\right) \equiv 0$ , а  $\forall j \in \{2; 3; 4; 5; 6; 8\} : \frac{n}{j} \in N$  величини  $\rho\left(n, \frac{n}{j}\right)$  визначаються за допомогою співвідношень

$$\begin{aligned} \rho\left(n, \frac{n}{5}\right) &= \frac{3n}{5}, & \rho\left(n, \frac{n}{6}\right) &= \frac{n}{6}, \\ \rho\left(n, \frac{n}{8}\right) &= \frac{n}{8}, & \rho\left(n, \frac{n}{3}\right) &= \frac{n(n-3)}{6}, \\ \rho\left(n, \frac{n}{4}\right) &= \frac{n(n-4)}{32}, & \rho\left(n, \frac{n}{2}\right) &= \frac{n(n-2)(n-4)(5n+2)}{384}. \end{aligned} \quad (8)$$

**Доведення.** Не важко переконатися в тому, що серед діаграм з характеристичних підкласів  $A4; B1 - B4, D2, E1 - E7, F3$  та  $F4$  взагалі немає таких, які самосуміщуються при повороті на певний кут

$$\omega_j = \omega\left(n, \frac{n}{j}\right) = \frac{2\pi}{j} < 2\pi, \quad \text{при } j \in \{2, \dots, n\}.$$



**Рис. 2:** всі типи діаграм з класу  $\mathfrak{S}_{n-4;1}^{n,2}$ , які самосуміщуються при повороті на кут  $\omega \leq \pi$

1) Діаграми з підкласів  $A1, A2$  та  $A3$  самосуміщуються при повороті на певний кут  $\omega_j < 2\pi$  лише за умов, коли  $n$  ділиться на 5, а поворот здійснюється на кут  $\omega = \frac{2\pi}{5}$  (при  $j = 5$ );

для натуральних  $k = \frac{n}{5} \geq 1$  число таких діаграм (для кожного з підкласів  $A1$ ,  $A2$  та  $A3$ ) становить  $C_k^1$ ; звідки для натуральних  $n = 5k \geq 5$  число зазначених діаграм становить

$$\rho_{A1} \left( n, \frac{n}{2} \right) = \rho_{A2} \left( n, \frac{n}{2} \right) = \rho_{A3} \left( n, \frac{n}{2} \right) = C_{\frac{n}{5}}^1 = \frac{n}{5}.$$

**2)** Діаграми з підкласу  $D1$  самосуміщуються при повороті на певний кут  $\omega_j < 2\pi$  лише за умов, коли  $n$  ділиться на 2, а поворот здійснюється на кут  $\omega = \frac{2\pi}{2}$  (при  $j = 2$ );

для натуральних  $k = \frac{n}{2} \geq 3$  число таких діаграм становить  $3 \cdot C_k^3$ ; звідки для натуральних  $n = 2k \geq 6$  число зазначених діаграм становить

$$\rho_{D1} \left( n, \frac{n}{2} \right) = 3 \cdot C_{\frac{n}{2}}^3.$$

**3)** Діаграми з підкласу  $D3$  самосуміщуються при повороті на певний кут  $\omega_j < 2\pi$  лише за умов, коли  $n$  ділиться на 3, а поворот здійснюється на кут  $\omega = \frac{2\pi}{3}$  (при  $j = 3$ );

для натуральних  $k = \frac{n}{3} \geq 2$  число таких діаграм становить  $2 \cdot C_k^2$ ; звідки для натуральних  $n = 3k \geq 6$  число зазначених діаграм становить

$$\rho_{D3} \left( n, \frac{n}{3} \right) = 2 \cdot C_{\frac{n}{3}}^2.$$

**4)** Діаграми з підкласу  $F2$  самосуміщуються при повороті на певний кут  $\omega_j < 2\pi$  лише за умов, коли  $n$  ділиться на 2, а поворот здійснюється на кут  $\omega = \frac{2\pi}{2}$  (при  $j = 2$ );

для натуральних  $k = \frac{n}{2} \geq 4$  число таких діаграм становить  $4 \cdot C_k^4$ ; звідки для натуральних  $n = 2k \geq 8$  число зазначених діаграм становить

$$\rho_{F2} \left( n, \frac{n}{2} \right) = 4 \cdot C_{\frac{n}{2}}^4.$$

**5)** Діаграми з підкласу  $D4$  самосуміщуються при повороті на певний кут  $\omega_j < 2\pi$  лише за умов, коли  $n$  ділиться на 2, 3 або ж на 6. Причому:

в 1-му випадку поворот здійснюється на кут  $\omega = \frac{2\pi}{2}$  (при  $j = 2$ );

в 2-му випадку поворот здійснюється на кут  $\omega = \frac{2\pi}{3}$  (при  $j = 3$ );

в 3-му випадку — на кут  $\omega = \frac{2\pi}{6}$  (при  $j = 6$ ).

Крім того, не важко перевірити, що:

в 1-му випадку для натуральних  $k = \frac{n}{2} \geq 3$  число відповідних діаграм становить  $C_k^3$ ; звідки для натуральних  $n = 2k \geq 6$  число зазначених діаграм становить

$$\rho_{D4} \left( n, \frac{n}{2} \right) = C_{\frac{n}{2}}^3;$$

в 2-му випадку для натуральних  $k = \frac{n}{3} \geq 6$  число відповідних діаграм становить  $C_k^2$ ; звідки для натуральних  $n = 3k \geq 6$  число зазначених діаграм становить

$$\rho_{D4} \left( n, \frac{n}{3} \right) = C_{\frac{n}{3}}^2;$$

в 3-му випадку для натуральних  $k = \frac{n}{6} \geq 1$  число відповідних діаграм становить  $C_k^1$ ; звідки для натуральних  $n = 6k \geq 6$  число зазначених діаграм становить

$$\rho_{D4} \left( n, \frac{n}{6} \right) = C_{\frac{n}{6}}^1 = \frac{n}{6}.$$

**6)** Діаграми з підкласу  $F1$  самосуміщуються при повороті на певний кут  $\omega_j < 2\pi$  лише за умов, коли  $n$  ділиться на 2, 4 або ж на 8. Причому:

в 1-му випадку поворот здійснюється на кут  $\omega = \frac{2\pi}{2}$  (при  $j = 2$ );

в 2-му випадку — на кут  $\omega = \frac{2\pi}{4}$  (при  $j = 4$ );

в 3-му випадку — на кут  $\omega = \frac{2\pi}{8}$  (при  $j = 8$ ).

Не важко перевірити, що:

в 1-му випадку для натуральних  $k = \frac{n}{2} \geq 4$  число відповідних діаграм становить  $C_k^4$ ; звідки для  $n = 2k \geq 8$  число зазначених діаграм становить

$$\rho_{F1} \left( n, \frac{n}{2} \right) = C_{\frac{n}{2}}^4;$$

в 2-му випадку для натуральних  $k = \frac{n}{4} \geq 2$  число відповідних діаграм становить  $C_k^2$ ; звідки для  $n = 4k \geq 8$  число зазначених діаграм становить

$$\rho_{F1} \left( n, \frac{n}{4} \right) = C_{\frac{n}{4}}^2 = \frac{n(n-4)}{32};$$

в 3-му випадку для натуральних  $k = \frac{n}{8} \geq 1$  число відповідних діаграм становить  $C_k^1$ ; звідки для  $n = 8k \geq 8$  число зазначених діаграм становить

$$\rho_{F1} \left( n, \frac{n}{8} \right) = \frac{n}{8}.$$

Таким чином маємо, що:

$$\rho \left( n, \frac{n}{5} \right) = \rho_{A1} \left( n, \frac{n}{2} \right) + \rho_{A2} \left( n, \frac{n}{2} \right) + \rho_{A3} \left( n, \frac{n}{2} \right) = \frac{3n}{5};$$

$$\rho \left( n, \frac{n}{6} \right) = \rho_{D4} \left( n, \frac{n}{6} \right) = \frac{n}{6}; \quad \rho \left( n, \frac{n}{8} \right) = \rho_{F1} \left( n, \frac{n}{8} \right) = \frac{n}{8};$$

$$\rho \left( n, \frac{n}{4} \right) = \rho_{F1} \left( n, \frac{n}{4} \right) = \frac{n(n-4)}{32};$$

$$\rho \left( n, \frac{n}{3} \right) = \rho_{D3} \left( n, \frac{n}{3} \right) + \rho_{D4} \left( n, \frac{n}{3} \right) = 2 \cdot C_{\frac{n}{3}}^2 + C_{\frac{n}{3}}^2 = \frac{n(n-3)}{6};$$

$$\begin{aligned} \rho \left( n, \frac{n}{2} \right) &= \rho_{D1} \left( n, \frac{n}{2} \right) + \rho_{D4} \left( n, \frac{n}{2} \right) + \rho_{F1} \left( n, \frac{n}{2} \right) + \rho_{F2} \left( n, \frac{n}{2} \right) = \\ &= 3C_{\frac{n}{2}}^3 + C_{\frac{n}{2}}^3 + C_{\frac{n}{2}}^4 + 4C_{\frac{n}{2}}^4 = 5C_{\frac{n}{2}}^4 + 4C_{\frac{n}{2}}^3 = \frac{n(n-2)(n-4)(5n+2)}{384}. \end{aligned} \quad \square$$



На рис. 3 та 4 в явному вигляді наведено всі неізоморфні (нееквівалентні відносно дії циклічної групи) діаграми з класів  $\mathfrak{S}_{1;1}^{5,2}$  та  $\mathfrak{S}_{2;1}^{6,2}$  відповідно.

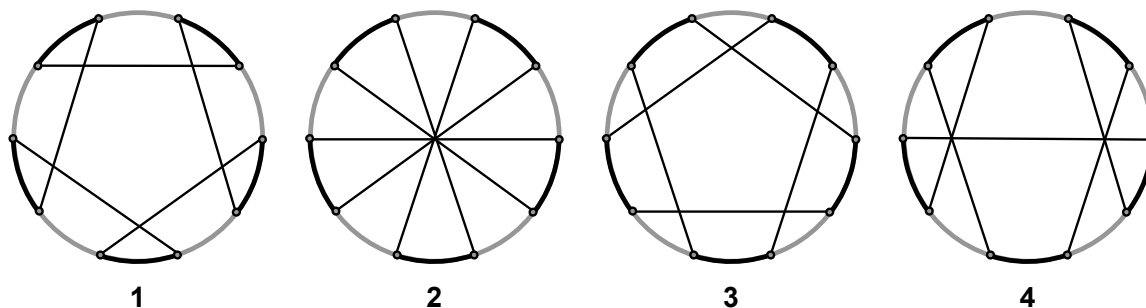


Рис. 3: всі неізоморфні діаграми з класу  $\mathfrak{S}_{1;1}^{5,2}$

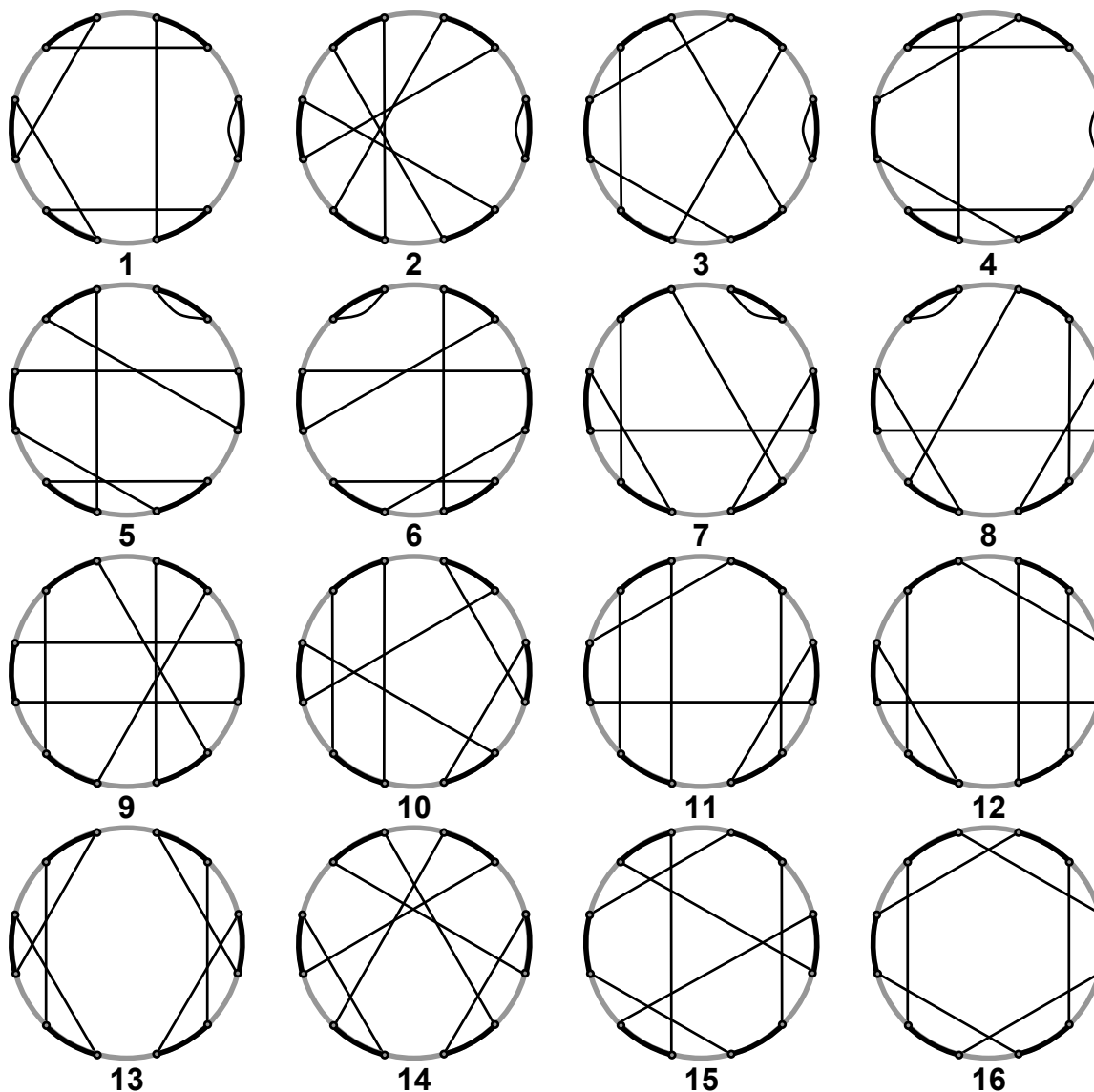


Рис. 4: всі неізоморфні діаграми з класу  $\mathfrak{S}_{2;1}^{6,2}$

## Додатки та прикінцеві зауваження

**Зауваження 2.** За допомогою одержаних формул можна підрахувати й число неізоморфних діаграм з класу  $\mathfrak{S}_{1;n-4}^{n,2}$

Повторюючи міркування, аналогічні тим, що наведено у роботі [5], не важко встановити справедливість наступного твердження

**Твердження 2.** При  $n \rightarrow \infty$  величини  $d^*(n)$  та

$$\delta(n) = \frac{d(n)}{n} = \frac{(3n^2 - n - 6)(n + 1)(n - 1)(n - 2)(n - 3)(n - 4)}{5760}$$

є еквівалентними нескінченно великими величинами.

$n$	$d(n)$	$d^*(n)$	$[\delta(n)]$	$n$	$d(n)$	$d^*(n)$	$[\delta(n)]$
<b>5</b>	8	4	1	<b>21</b>	12 087 306	575 592	575 586
<b>6</b>	84	16	14	<b>22</b>	17 968 566	816 858	816 753
<b>7</b>	469	67	67	<b>23</b>	26 212 571	1 139 677	1 139 677
<b>8</b>	1 869	237	233	<b>24</b>	37 589 475	1 566 377	1 566 228
<b>9</b>	5 985	667	665	<b>25</b>	53 068 015	2 122 723	2 122 720
<b>10</b>	16 401	1 649	1 640	<b>26</b>	73 854 495	2 840 739	2 840 557
<b>11</b>	39 963	3 633	3 633	<b>27</b>	101 437 245	3 756 943	3 756 935
<b>12</b>	88 803	7 417	7 400	<b>28</b>	137 637 045	4 915 841	4 915 608
<b>13</b>	183 183	14 091	14 091	<b>29</b>	184 664 025	6 367 725	6 367 725
<b>14</b>	355 355	25 405	25 382	<b>30</b>	245 181 573	8 173 019	8 172 719
<b>15</b>	654 654	43 650	43 643	<b>31</b>	322 377 804	10 399 284	10 399 284
<b>16</b>	1 154 062	72 166	72 128	<b>32</b>	420 045 164	13 126 768	13 126 411
<b>17</b>	1 958 502	115 206	115 206	<b>33</b>	542 668 764	16 444 518	16 444 508
<b>18</b>	3 215 142	178 678	178 619	<b>34</b>	695 524 060	20 457 020	20 456 590
<b>19</b>	5 126 010	269 790	269 790	<b>35</b>	884 784 516	25 279 560	25 279 557
<b>20</b>	7 963 242	398 242	398 162	<b>36</b>	1 117 639 908	31 046 082	31 045 553

**Табл. 1:** початкові значення величин  $d(n)$ ,  $d^*(n)$  та  $[\delta(n)]$

## Висновки

Таким чином, в представленій роботі розв'язано задачу про підрахунок числа неізоморфних діаграм з класу  $\mathfrak{S}_{n-4;1}^{n,2}$ . Цілком природно подальшу роботу спрямувати на одержання явних формул для підрахунок числа нееквівалентних діаграм з класу  $\mathfrak{S}_{n-4;1}^{n,2}$  та узагальнення одержаних результатів для класу  $\mathfrak{S}_{k,l}^{n,2}$  на випадок довільного  $1 \leq l \leq n - 4$ .

## Література

1. Callan D., Smiley L. Noncrossing partitions under reflection and rotation; preprint, arXiv:math/0510447 [math.CO], 2000.
2. Cori R., Marcus M. Counting non-isomorphic chord diagrams. Theoretical Computer Science. 1998. Vol. 204. P. 55–73.

3. *Charpy G.* A new combinatorial identity for unicellular maps, via a direct bijective approach. *Advances in Applied Mathematics*. 2011. Vol. 47, No. 4. P. 874–893.
4. *Goupil A., Schaeffer G.* Factoring  $n$ -cycles and counting maps of given genus. *European Journal of Combinatorics*. 1998. Vol. 19, No. 7. P. 819–834.
5. *Khruzin A.* Enumeration of chord diagrams; preprint, arXiv:math/0008209 [math.CO], 1998.
6. *Krasko E.* Counting Unlabelled Chord Diagrams of Maximal Genus; preprint, arXiv:1709.00796 [math.CO], 2017.
7. *Li B., Sun H.* Exact number of chord diagrams and an estimation of the number of spine diagrams of order  $n$ . *Chinese Science Bulletin*. 1997. Vol. 42, No. 9. P. 705–720.
8. *Stoimenov A.* Enumeration of chord diagrams and an upper bound for Vassiliev invariants. *Journal of Knot and its Ramifications*. 1998. Vol. 7, No. 1. P. 93–114.
9. *Адрианов Н.М.* Аналог формулы Харера-Цагира для одноклеточных двукрашенных карт. *Функциональный анализ и его приложения*. 1997. Том 31, № 3. С. 1–9.
10. *Кадубовський О.* Про один клас хордових діаграм максимального роду. *Вісник Київського університету Серія: фізико-математичні науки*. 2006. Вип. 1. С. 17–27.
11. *Кадубовський О.А., Сторожилова О.В., Сторожилова Н.В.* Двокольорові  $O$ - і  $N$ -діаграми. *Пошуки і знахідки. Серія: фізико-математичні науки*. 2010. Том I, Вип. 10. С. 41–50.
12. *Кадубовський О.А., Саприкіна Ю.С., Мазур С.Ю.* Двокольорові  $O$ -діаграми з одним чорним циклом. *Пошуки і знахідки. Серія: фізико-математичні науки*. 2010. Том I, Вип. 10. С. 51–60.
13. *Кадубовский А.А.* Двухцветные хордовые  $N$ -диаграммы с одним черным циклом. *Труды института прикладной математики и механики НАН Украины*. 2012. Том 24. С. 134–146.
14. *Кадубовский А.А.* О числе топологически неэквивалентных функций с одной вырожденной критической точкой типа седло на двумерной сфере, II. *Труды международного геометрического центра*. 2015. Том 8, № 1. С. 46–61.
15. *Кадубовський О.А.* Перерахування топологічно нееквівалентних гладких мінімальних функцій на замкнених поверхнях // *Топологія відображень маловимірних многовидів : Збірник праць Інституту математики НАН України*. 2015. Том 12, № 6. С. 105–145.

16. *Кадубовський О.А., Баляса Н.П.* Перерахування двокольорових хордових  $O$ -діаграм роду 1, які мають один чорний (або сірий) цикл, відносно дії циклічної та дієдральної груп. Збірник наукових праць фізико-математичного факультету ДДПУ. 2016. Вип. 6. С. 31–46.
17. *Кадубовський О.А., Калініченко Я.В.* Перерахування двокольорових хордових  $O$ -діаграм роду 1, які мають два чорних (або сірих) циклів, відносно дії групи дієдра. Збірник наукових праць фізико-математичного факультету ДДПУ. 2018. Вип. 8. С. 30–45.
18. *Кадубовський О.А.* Перерахування двокольорових хордових  $O$ -діаграм роду 1, які мають три сірих (або чорних) цикли, відносно дії групи дієдра. Збірник наукових праць фізико-математичного факультету ДДПУ. 2019. Вип. 9. С. 25-41.
19. *Kadubovs'kyi O.* Enumeration of topologically non-equivalent functions with one degenerate saddle critical point on two-dimensional torus. International Conference «Morse theory and its applications», dedicated to the memory and 70th anniversary of Volodymyr Sharko (25.09.1949 - 07.10.2014). September 25-28, 2019, Kyiv, Ukraine : Conference materials. Kyiv, Institute of Mathematics of National Academy of Sciences of Ukraine, 2019. P. 19-21.
20. *Кадубовський О.А.* Перерахування неізоморфних двокольорових хордових  $O$ -діаграм роду два з одним сірим (або чорним) циклом // Матеріали ХХІІ Міжнародного науково-практичного семінару «Комбінаторні конфігурації та їх застосування». — Кропивницький, 15-16 травня 2020 р. (в друці).

---

**Kadubovs'kyi Oleksandr A., Sypchuk Ye.**

Donbas State Pedagogical University, Sloviansk, Ukraine.

**On the number of non-isomorphic 2-color chord  $O$ -diagrams of the genus two that have one grey (or black) face**

In this paper we consider 2-color chord  $O$ -diagrams (of order  $n$ ) with one grey and  $(n - 4)$  black faces under the action of the rotation group (cyclic group of the order  $n$ ).

For natural 5 and 6 we have illustrated all non-isomorphic of such diagrams. We have established explicit formulas for counting the number of non-isomorphic diagrams from the specified class. In addition, for natural  $5 \leq n \leq 36$  we have also listed the exact value of the number of non-isomorphic such diagrams.

**Keywords:** 2-color chord  $O$ -diagrams, genus of a diagram, faces of a diagram, cyclic group.